

**Р.Ф. Рахимов, Д.Н. Ромашов**

## МОДЕЛЬНЫЕ ОЦЕНКИ МАТРИЦЫ РАССЕЯНИЯ ПОЛИДИСПЕРСНОЙ И ПОЛИОРИЕНТИРОВАННОЙ СИСТЕМЫ ЦИЛИНДРИЧЕСКИХ ЧАСТИЦ

Обсуждается методика моделирования параметров аэрозольного светорассеяния с учетом факторов несферичности и полиориентированности частиц. Представлены результаты модельных оценок изменчивости элементов матрицы рассеяния полидисперской системы цилиндрических частиц конечной длины в зависимости от угла преимущественной ориентации.

Специфика формирования фазового состава облаков верхнего яруса предполагает наличие в них кристаллических аэрозольных структур и как следствие анизотропию оптических свойств. В связи с этим ряд оптических эффектов светорассеяния, возникающих при взаимодействии электромагнитного излучения с перистыми облаками, не могут быть интерпретированы в рамках моделей, основанных на теории Ми. Постановка вопроса об изменчивости светорассеивающих свойств дисперской фазы вне гипотезы сферической симметрии формы или диэлектрических характеристик ведет к резкому расширению списка исходных параметров задачи. Например, анализ оптико-локационных свойств перистых облаков в приближении конечных цилиндрических частиц ведет к необходимости анализа влияния не только полидисперсности (кстати сказать, по двум параметрам — длине и толщине), но и ориентации.

В данной статье на основе известного [1—4] обобщения точного решения задачи светорассеяния на бесконечном цилиндре к конечному (с использованием принципа Гюйгенса в формулировке Френеля) рассмотрены некоторые особенности формирования оптико-локационных характеристик дисперской фазы сходной по микроструктуре с перистыми облаками.

В декартовой системе координат с осью  $z'$ , совпадающей с осью цилиндра конечной длины  $l$ , и радиусом  $r$  выражение для амплитудных функций рассеянного электромагнитного излучения имеет вид

$$S_i(\varphi', \theta', \beta, r, l) = \frac{kl}{\pi} E\left(\frac{kl}{2} (\cos \theta' - \cos \beta)\right) T_i(\varphi', \beta, r) \quad (i=1, 2, 3, 4), \quad (1)$$

где  $T_i(\varphi', \beta, r)$  — амплитудные функции для бесконечного цилиндра [2];  $k = 2\pi/\lambda$  — волновое число;  $\beta$  — угол между падающим излучением и осью цилиндра (в дальнейшем он совпадает со вторым углом Эйлера);  $\varphi', \theta'$  — сферические координаты;  $E(x) = \frac{\sin x}{x}$  — функция Котельникова.

Ориентацию цилиндров в системе координат с осью  $z$ , закрепленной по направлению распространения излучения, будем определять через два угла Эйлера  $0 \leq \alpha \leq 2\pi$ ; и  $0 \leq \beta \leq \pi$  [5].

Связь между сферическими координатами, заданными в первой системе, с аналогичными во второй системе определяется соотношениями [5]

$$\begin{aligned} \cos \theta' &= \cos \theta \cos \beta + \sin \theta \sin \beta \cos(\varphi - \alpha); \\ \operatorname{ctg} \varphi' &= \operatorname{ctg}(\varphi - \alpha) \cos \beta - \operatorname{ctg} \theta \sin \beta / \sin(\varphi - \alpha). \end{aligned} \quad (2)$$

С учетом (2)) выражение для амплитудных функций рассеянного произвольно ориентированным цилиндром поля может быть записано в виде

$$\begin{aligned} S_i(\theta, \varphi, \alpha, \beta, r, l) &= \frac{kl}{\pi} E\left(\frac{kl}{2} (\cos \theta \cos \beta + \sin \theta \sin \beta \cos(\varphi - \alpha) - \cos \beta)\right) \cdot T_i\left(\operatorname{arcctg}\left(\operatorname{ctg}(\varphi - \alpha) \cos \beta - \frac{\operatorname{ctg} \theta \sin \beta}{\sin(\varphi - \alpha)}\right), \beta, r\right). \end{aligned} \quad (3)$$

Для полидисперского ансамбля конечных цилиндров с плотностью распределения по дайнам  $g(l)$ , радиусам  $n(r)$  и двум углам ориентации  $q(\alpha, \beta)$  элементы матрицы рассеяния, используя статистическое усреднение можно записать в виде

$$\hat{S}_{ij}(\theta, \varphi) = \int_0^{2\pi} \int_{r_1}^{\pi} \int_{l_1}^{l_2} q(\alpha, \beta) n(r) g(l) S_{ij}(\theta, \varphi, \alpha, \beta, r, l) d\alpha d\beta dr dl. \quad (4)$$

В предлагаемых модельных оценках ограничимся анализом оптических свойств полидисперсного ансамбля с азимутальной симметрией распределения осей цилиндров:

$$q(\alpha, \beta) = f(\beta)/2\pi. \quad (5)$$

Для таких систем матрица рассеяния  $\hat{S}_{ij}(\theta, \varphi)$  будет независимой от угла  $\varphi$ , т.е.

$$\hat{S}_{ij}(\theta, \varphi_1) = \hat{S}_{ij}(\theta, \varphi_2). \quad (6)$$

Оценка многократного интеграла (4) с использованием кубатурных формул предполагает значительные затраты вычислительного времени на ЭВМ, поэтому статистическое усреднение оптических характеристик проводилось с использованием метода Монте-Карло. Применяемый метод позволяет существенно расширить типологическое многообразие анализируемых состояний дисперсной фазы, рассмотреть не только ситуации с хаотической ориентацией частиц [4], т.е. с равномерным распределением по направлениям.

Вопрос о сходимости применяемого метода анализировался на основе численных оценок. Расчеты показывают, что по мере роста характерного размера частиц и расширения спектра отклонений оси цилиндра от характерного угла ориентации необходимый для устойчивости получаемых оценок объем статистического усреднения  $N_c$  может возрастать от 15 до 45 тысяч реализаций.

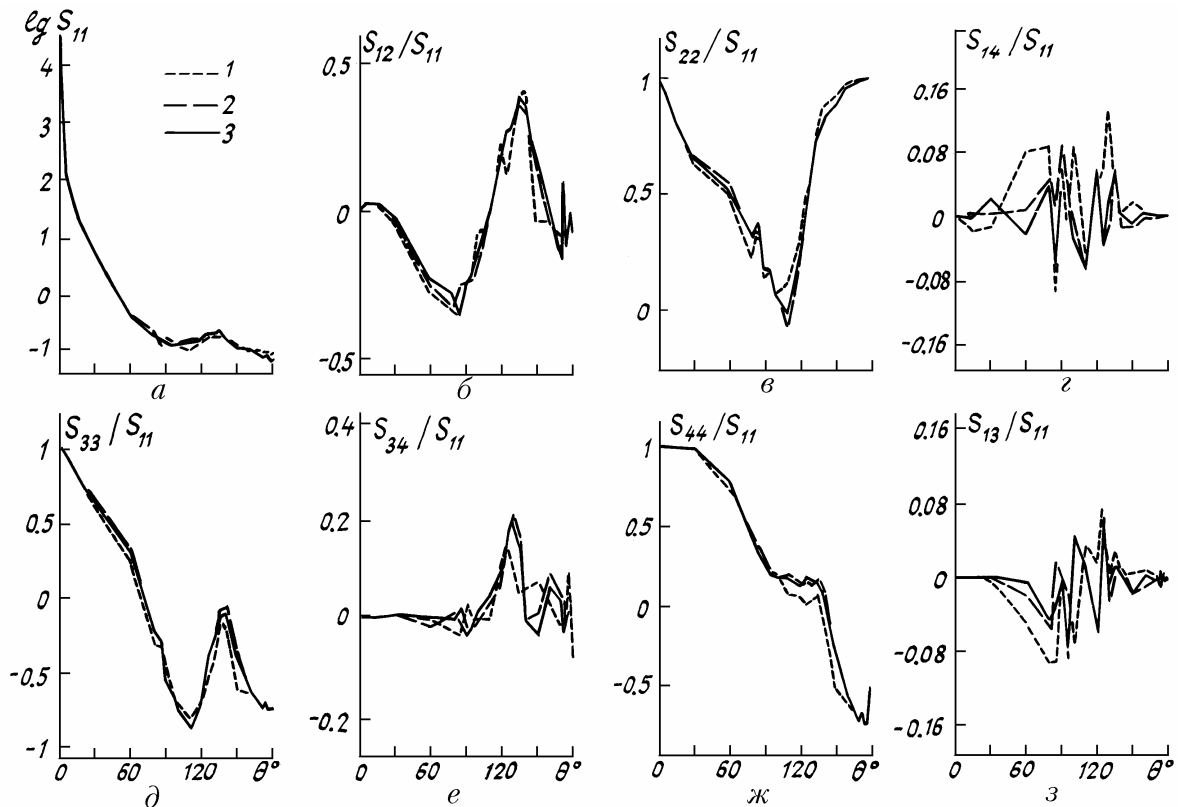


Рис. 1. Приведенные значения элементов матрицы рассеяния для цилиндрических ледяных частиц в зависимости от объема статистического усреднения: 1— $N_c = 1,5 \cdot 10^4$ ; 2— $N_c = 3,0 \cdot 10^4$ ; 3— $N_c = 4,5 \cdot 10^4$  реализаций

На рис. 1,  $a-z$  представлены угловые функции аэрозольного светорассеяния, рассчитанные для полидисперсного ансамбля цилиндрических частиц с логнормальным распределением по радиусу поперечного сечения, равномерным (в интервале от 3 до 5) по фактору вытянутости  $j = l/r$  и нормальным по углу ориентации  $\beta$ . Для всех элементов матрицы рассеяния с ростом объема статистического усреднения характерна стабилизация формы угловых зависимостей, причем достаточная для выявления тонкой

структурой, такой как, например, локальный максимум в интервале  $\theta \sim 170 - 180^\circ$  (рис. 1, *a, б, д, е*). Что касается осцилляций  $S_{13}(\theta)$  и  $S_{14}(\theta)$ , то они обусловлены прежде всего малостью абсолютных значений, вследствие хаотичности ориентации цилиндров по азимутальному углу  $\varphi$ , и погрешностью вычислений по ограниченной разрядной сетке ЭВМ. Например, отношения  $S_{14}(\theta)/S_{11}(\theta)$ , рассчитанные для отдельных состояний ориентации цилиндра, варьируются в интервале значений от  $-0,8$  до  $0,8$ , а при сложении вкладов от хаотически ориентированных взаимно компенсируются. Угловая зависимость вследствие конечности и дискретности статистики усреднения приобретает вид случайной функции в окрестности  $\theta = 0$ .

На основе предлагаемой методики численно рассмотрено изменение угловых функций светорассеяния в зависимости от микрофизических параметров дисперской системы полиреориентированных частиц.

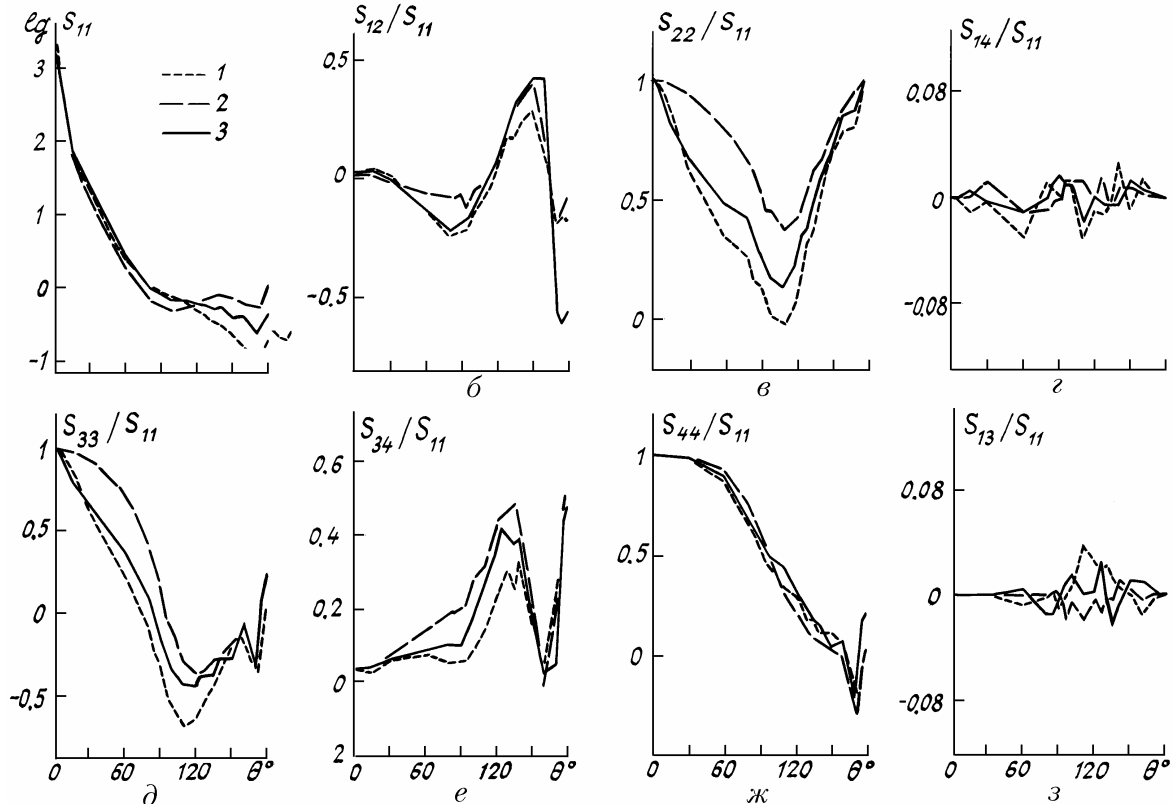


Рис. 2. Приведенные значения элементов матрицы рассеяния ледяных частиц в зависимости от характерного угла наклона осей цилиндров к падающему излучению при  $r_m = 1,0$  мкм;  $\lambda = 0,6943$  мкм; 1 — нормальное распределение с  $\beta_m = \pi/4$ ; 2 — нормальное распределение с  $\beta_m = \pi/2$ ; 3 —  $q(\beta)$  — равномерное (хаотическое) распределение

На рис. 2, *а—з* представлены расчетные данные, иллюстрирующие изменение элементов матрицы рассеяния в зависимости от особенностей ориентации частиц, распределенных по логнормальному закону в окрестности  $r_m = 1,0$  мкм и  $\sigma = 0,5$ . Сплошные кривые соответствуют случаю, когда оси цилиндров хаотически ориентированы сразу по обоим углам  $\alpha$  и  $\beta$ . Штрихпунктирная и штриховая кривые рассчитаны для частиц с нормальным распределением осей цилиндра со средним углом наклона соответственно  $\beta_m = 45$  и  $90^\circ$ . Величина стандартного отклонения в обоих случаях полагалась  $\sigma = 30^\circ$ . Аналогичные данные представлены на рис. 3, *а—з* для более крупных цилиндров с  $r_m = 10,0$  мкм.

Независимо от размера частиц и диэлектрических постоянных (расчеты выполнены для двух длин волн  $\lambda = 0,6943$  мкм с показателем преломления для льда  $m = 1,308 - 0,0001 i$  и  $\lambda = 1,06$  мкм с  $m = 1,296 - 0,0001 i$ ) прослеживается единообразная тенденция изменения угловых функций светорассеяния. Расчеты показывают, что если для сферических частиц угловые зависимости элементов матрицы рассеяния  $S_{22}(\theta)$  и  $S_{11}(\theta)$  идентичны (см. соотношение (4,77) [1]), то для цилиндрических частиц (в зависимости от ориентации) характерно существенное рассогласование указанных зависимостей практически во всех углах рассеяния за исключением направлений вперед  $\theta = 0^\circ$  и назад  $\theta = 180^\circ$ . Особенно в случае когда  $\theta = 45^\circ$ .

Необходимо также отметить для крупных частиц (рис. 3, *а, б, з*) наличие пиков в интервале углов рассеяния  $\theta \in 125 - 140^\circ$ , известном как область радуг в случае жидкокапельных облаков. Эффективность же локационного рассеяния (рис. 2, *а, з, а*) существенно зависит от угла преимущественной ориентации частиц. Индикаторика рассеяния назад уменьшается одновременно с уменьшением угла наклона оси цилиндра к падающему излучению.

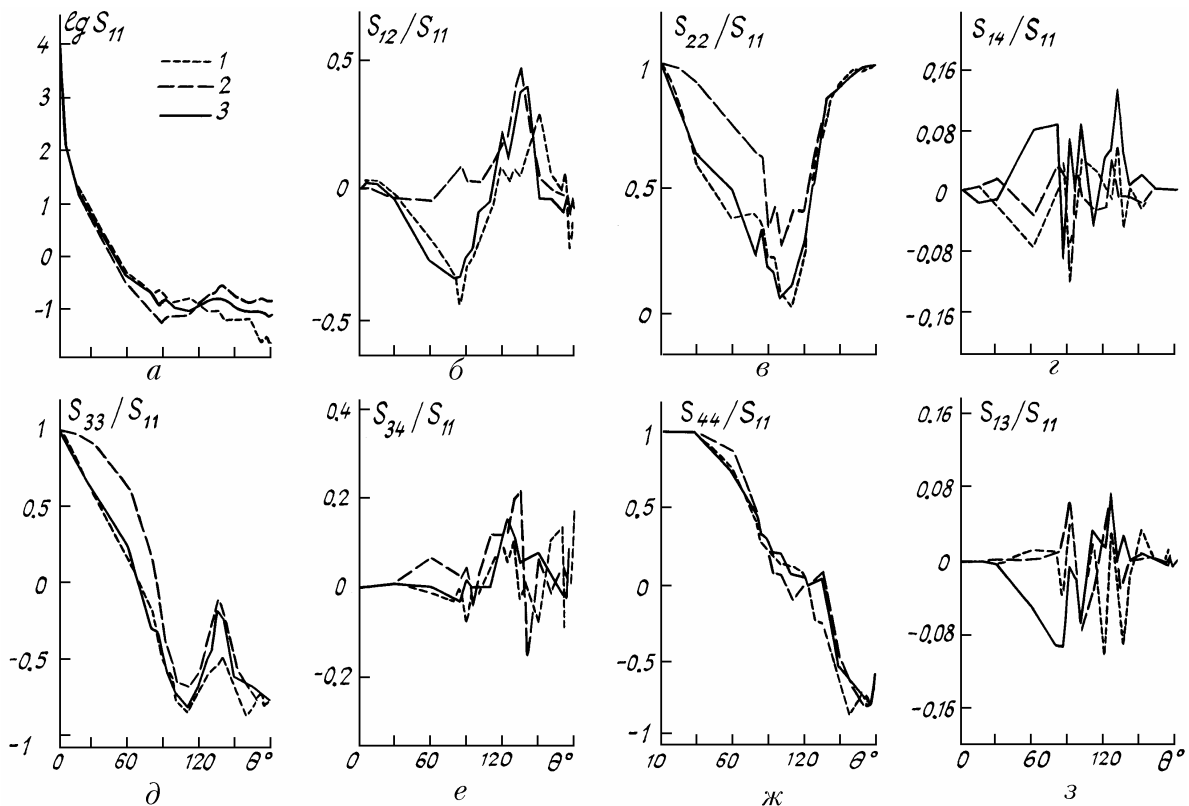


Рис. 3. То же, что и на рис. 2, но только для  $r_m = 10,0$  мкм и  $\lambda = 1,06$  мкм

Заметно различаются между собой и угловые зависимости отношений  $S_{33}(\theta)/S_{11}(\theta)$  и  $S_{44}(\theta)/S_{11}(\theta)$ , которые для сфер также совпадают, а для угла рассеяния  $\theta = \pi$  равны — 1. В нашем случае указанные отношения не равны между собой, отличаются по значению от —1 и варьируются в зависимости от характерного размера частиц и угла преимущественной ориентации. Аналогичные отличия от сферических частиц проявляются для локационных углов рассеяния в случае отношений  $S_{12}(\pi)/S_{11}(\pi)$  (степени поляризации) и  $S_{34}(\pi)/S_{11}(\pi)$ . Два последних результата являются принципиальными и убеждают в необходимости проведения детального исследования, поскольку содержат в себе характерные признаки несферичностии светорассеивающих частиц и, как видно из сопоставления данных рис. 2 и рис. 3, существенно зависят от их размера.

1. Борен К., Хафмен Д. Поглощение и рассеяние света малыми частицами. М.: Мир, 1986. 662 с.
2. Куо-Нан-Лиу //Appl. Opt. 1972. V. 11. № 3. P. 667—674.
3. Глазов Г. Н., Креков Г. М., Рахимов Р. Ф. //II Всесоюз. симпозиум по распространению лазерного излучения в атмосфере. (Тезисы докл.). Томск: ИОА СО АН СССР, 1973. С. 72—73.
4. Волковицкий О. А., Павлова Л. Н., Петрушин А. Г. Оптические свойства кристаллических облаков. Л.: Гидрометеоиздат, 1984. 200 с.
5. Варшалович Д. А., Москалев А. Н., Херсонский В. К. Квантовая теория углового момента. Л.: Наука, 1975. 340 с.

Институт оптики атмосферы СО АН СССР,  
Томск

Поступила в редакцию  
28 февраля 1991 г.

R. F. Rakhamov, D. N. Romashov. **Model Estimations of the Scattering Matrix of a Polydisperse Ensemble of Arbitrarily Oriented Cylindrical Particles.**

The paper discusses a technique for modeling the aerosol light scattering with the account for particles nonsphericity and multiorientation. Some results of modeling the variability of the scattering matrix elements of a polydisperse system of cylindrical particles of a finite length depending on the angle of preferred orientation are presented.